



1.125 11AC40SISO_Ant1_5510





1.126 11AC40SISO_Ant2_5510





1.127 11AC40SISO_Ant1_5550





1.128 11AC40SISO_Ant2_5550





1.129 11AC40SISO_Ant1_5630





1.130 11AC40SISO_Ant2_5630





1.131 11AC40SISO_Ant1_5670





1.132 11AC40SISO_Ant2_5670





1.133 11AC40SISO_Ant1_5755





1.134 11AC40SISO_Ant2_5755





1.135 11AC40SISO_Ant1_5795





1.136 11AC40SISO_Ant2_5795





1.137 11AC80SISO_Ant1_5210





1.138 11AC80SISO_Ant2_5210





1.139 11AC80SISO_Ant1_5290





1.140 11AC80SISO_Ant2_5290





1.141 11AC80SISO_Ant1_5530





1.142 11AC80SISO_Ant2_5530





1.143 11AC80SISO_Ant1_5610





1.144 11AC80SISO_Ant2_5610





1.145 11AC80SISO_Ant1_5775





1.146 11AC80SISO_Ant2_5775





1.147 11AC160SISO_Ant1_5250





1.148 11AC160SISO_Ant2_5250





1.149 11AC160SISO_Ant1_5570





1.150 11AC160SISO_Ant2_5570





1.151 11A20CDD_Ant1_5180





1.152 11A20CDD_Ant2_5180





1.153 11A20CDD_Ant1_5200





1.154 11A20CDD_Ant2_5200





1.155 11A20CDD_Ant1_5240





1.156 11A20CDD_Ant2_5240





1.157 11A20CDD_Ant1_5260





1.158 11A20CDD_Ant2_5260





1.159 11A20CDD_Ant1_5280





1.160 11A20CDD_Ant2_5280





1.161 11A20CDD_Ant1_5300





1.162 11A20CDD_Ant2_5300





1.163 11A20CDD_Ant1_5320





1.164 11A20CDD_Ant2_5320





1.165 11A20CDD_Ant1_5500





1.166 11A20CDD_Ant2_5500





1.167 11A20CDD_Ant1_5520





1.168 11A20CDD_Ant2_5520





1.169 11A20CDD_Ant1_5580





1.170 11A20CDD_Ant2_5580





1.171 11A20CDD_Ant1_5680





1.172 11A20CDD_Ant2_5680





1.173 11A20CDD_Ant1_5700





1.174 11A20CDD_Ant2_5700





1.175 11A20CDD_Ant1_5745





1.176 11A20CDD_Ant2_5745





1.177 11A20CDD_Ant1_5785





1.178 11A20CDD_Ant2_5785





1.179 11A20CDD_Ant1_5805





1.180 11A20CDD_Ant2_5805





1.181 11A20CDD_Ant1_5825





1.182 11A20CDD_Ant2_5825





1.183 11N20MIMO_Ant1_5180





1.184 11N20MIMO_Ant2_5180





1.185 11N20MIMO_Ant1_5200





1.186 11N20MIMO_Ant2_5200





1.187 11N20MIMO_Ant1_5240





1.188 11N20MIMO_Ant2_5240





1.189 11N20MIMO_Ant1_5260



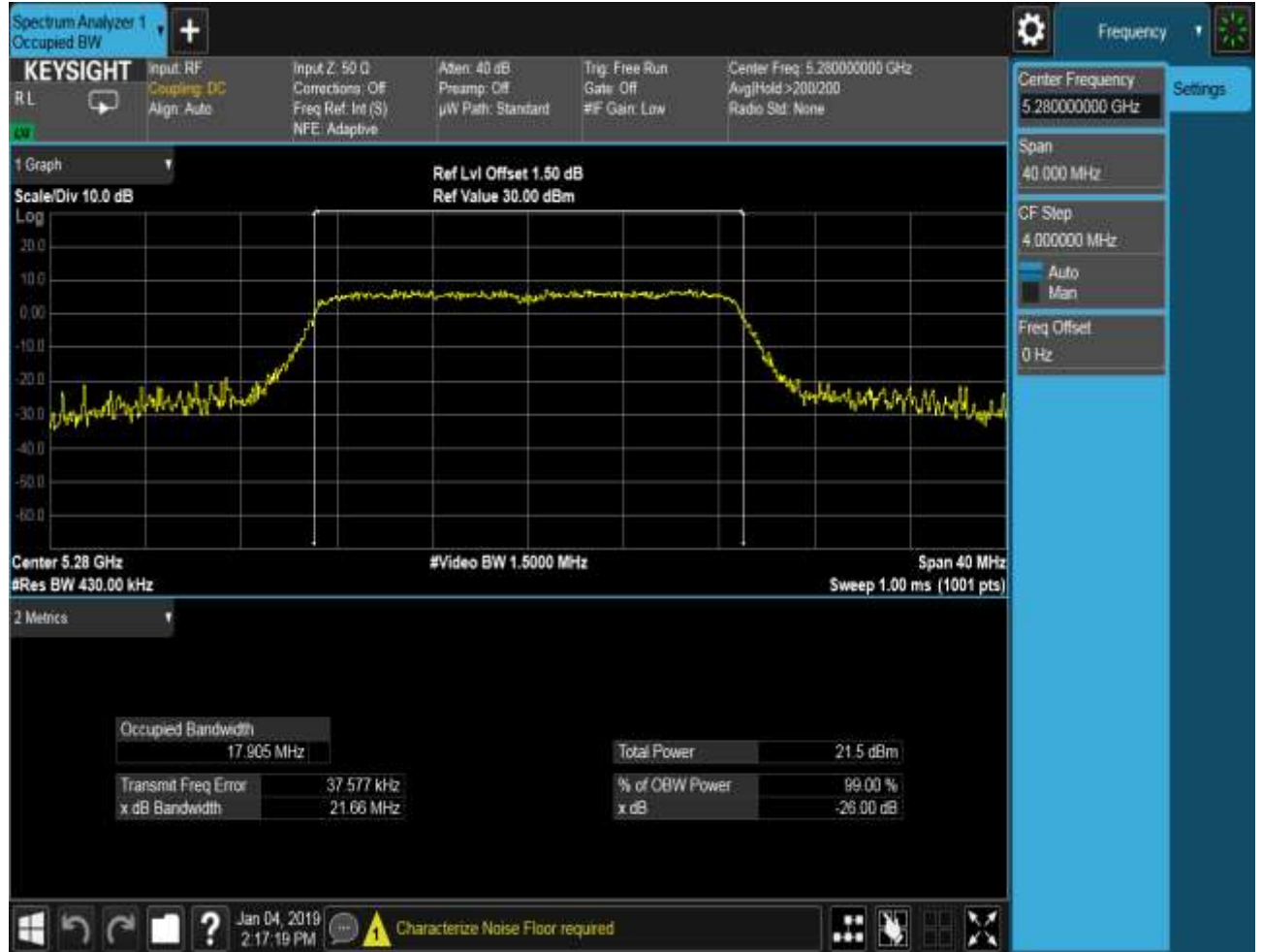


1.190 11N20MIMO_Ant2_5260





1.191 11N20MIMO_Ant1_5280





1.192 11N20MIMO_Ant2_5280





1.193 11N20MIMO_Ant1_5300





1.194 11N20MIMO_Ant2_5300





1.195 11N20MIMO_Ant1_5320





1.196 11N20MIMO_Ant2_5320





1.197 11N20MIMO_Ant1_5500





1.198 11N20MIMO_Ant2_5500





1.199 11N20MIMO_Ant1_5520





1.200 11N20MIMO_Ant2_5520





1.201 11N20MIMO_Ant1_5580





1.202 11N20MIMO_Ant2_5580





1.203 11N20MIMO_Ant1_5680





1.204 11N20MIMO_Ant2_5680





1.205 11N20MIMO_Ant1_5700





1.206 11N20MIMO_Ant2_5700





1.207 11N20MIMO_Ant1_5745





1.208 11N20MIMO_Ant2_5745





1.209 11N20MIMO_Ant1_5785





1.210 11N20MIMO_Ant2_5785





1.211 11N20MIMO_Ant1_5805





1.212 11N20MIMO_Ant2_5805





1.213 11N20MIMO_Ant1_5825





1.214 11N20MIMO_Ant2_5825





1.215 11N40MIMO_Ant1_5190





1.216 11N40MIMO_Ant2_5190





1.217 11N40MIMO_Ant1_5230





1.218 11N40MIMO_Ant2_5230





1.219 11N40MIMO_Ant1_5270





1.220 11N40MIMO_Ant2_5270





1.221 11N40MIMO_Ant1_5310





1.222 11N40MIMO_Ant2_5310





1.223 11N40MIMO_Ant1_5510





1.224 11N40MIMO_Ant2_5510

